Zeitschrift: Mitteilungen der Schweizerischen Entomologischen Gesellschaft =

Bulletin de la Société Entomologique Suisse = Journal of the Swiss

Entomological Society

Herausgeber: Schweizerische Entomologische Gesellschaft

Band: 51 (1978)

Heft: 2-3

Artikel: Unterschiedliche Sexuallockstoffe bei Lärchen- und Arvenform des

Grauen Lärchenwicklers (Zeiraphera diniana Gn., Lep. Tortricidae)

Autor: Baltensweiler, W. / Priesner, E. / Arn, H.

DOI: https://doi.org/10.5169/seals-401876

Nutzungsbedingungen

Die ETH-Bibliothek ist die Anbieterin der digitalisierten Zeitschriften auf E-Periodica. Sie besitzt keine Urheberrechte an den Zeitschriften und ist nicht verantwortlich für deren Inhalte. Die Rechte liegen in der Regel bei den Herausgebern beziehungsweise den externen Rechteinhabern. Das Veröffentlichen von Bildern in Print- und Online-Publikationen sowie auf Social Media-Kanälen oder Webseiten ist nur mit vorheriger Genehmigung der Rechteinhaber erlaubt. Mehr erfahren

Conditions d'utilisation

L'ETH Library est le fournisseur des revues numérisées. Elle ne détient aucun droit d'auteur sur les revues et n'est pas responsable de leur contenu. En règle générale, les droits sont détenus par les éditeurs ou les détenteurs de droits externes. La reproduction d'images dans des publications imprimées ou en ligne ainsi que sur des canaux de médias sociaux ou des sites web n'est autorisée qu'avec l'accord préalable des détenteurs des droits. En savoir plus

Terms of use

The ETH Library is the provider of the digitised journals. It does not own any copyrights to the journals and is not responsible for their content. The rights usually lie with the publishers or the external rights holders. Publishing images in print and online publications, as well as on social media channels or websites, is only permitted with the prior consent of the rights holders. Find out more

Download PDF: 12.12.2025

ETH-Bibliothek Zürich, E-Periodica, https://www.e-periodica.ch

51, 133–142, 1978

Unterschiedliche Sexuallockstoffe bei Lärchen- und Arvenform des Grauen Lärchenwicklers (Zeiraphera diniana Gn., Lep. Tortricidae)¹

W. Baltensweiler², E. Priesner³, H. Arn⁴ & V. Delucchi²

Evidence for different sexual attractants used by the larch form and the cembran pine form of the grey larch bud moth (Zeiraphera diniana GN.) – Electroantennograms reveal that males of the larch bud moth developing on Larix decidua respond maximally to (E)-II-tetradecenyl acetate (E11-14Ac), whereas for all males developing on Pinus cembra the (E)-9-dodecenyl acetate (E9-12Ac) is the most effective stimulus. In consistence with these data, in a pure larch forest only traps baited with females of the larch form or E11-14Ac were attractive. However, in a mixed larch-cembran pine forest, females of the cembran pine form or E9-12Ac caught 50 to 100 times more males. Implications of the apparent sexual isolation between the two forms at low population density are discussed in the context of the cyclic population dynamics of the larch form.

Der Graue Lärchenwickler ist durch seine auffälligen, in Perioden von 8-9 Jahren auftretenden Massenvermehrungen in den subalpinen Lärchenwäldern bekannt (BALTENSWEILER et al., 1977). Im Jahre 1971 wurde mit Hilfe der Elektroantennogramm-Methode das (E)-11-Tetradecenylacetat (E11-14Ac) als Sexuallockstoff gefunden (Roelofs et al., 1971). Die Substanz, deren Identität mit dem natürlichen Sexualpheromon noch offen ist, wird seither routinemässig zur Kontrolle des Falterfluges eingesetzt (BENZ & von Salis, 1973; Vačlena & BALTENSWEILER, 1978). Im Hinblick auf Migrationsstudien und eine mögliche Manipulation der zyklischen Populationsbewegung mit Hilfe der Verwirrungstaktik im Populationstiefpunkt von 1977/1978 wurden 1976 Forschungsarbeiten über Formulierung, Dosierung und Ausbringung des Sexuallockstoffes intensiviert. Dabei fanden wir (E.P., H.A.), dass die im Sommer 1976 mit dem Elektroantennogramm-Verfahren geprüften Männchen zwei völlig verschiedenen Reaktionstypen angehörten: die Antennen reagierten entweder maximal auf E11-14Ac oder maximal auf (E)-9-Dodecenylacetat (E9-12Ac). Die auf E9-12Ac ansprechenden Männchen entstammten mit einer einzigen Ausnahme aus Zuchten der sog. Arvenform (AF) (Bovey & Maksymov, 1959). Diese Tatsache führte zur Hypothese, dass die Wirtsformen des Lärchenwicklers auf Lärche (LF) resp. Arve (AF) verschiedene Sexuallockstoffe gebrauchen. Die vorliegende Arbeit berichtet über weitere Labor- und Freilandversuche im Jahre 1977.

² Entomologisches Institut der ETH, ETH-Zentrum, CH-8092 Zürich

³ Max-Planck-Institut für Verhaltensphysiologie, D-8131 Seewiesen

⁴ Eidgenössische Forschungsanstalt für Obst-, Wein- und Gartenbau, CH-8820 Wädenswil

¹ Beitrag Nr. 97 der Arbeitsgemeinschaft zur Erforschung der Populationsdynamik des Grauen Lärchenwicklers. Ausgeführt mit teilweiser Unterstützung des Schweiz. Nationalfonds für die wissenschaftliche Forschung, Projekt Nr. 3.576-0.75.

Methodik

Für Zucht- und Freilandtiere von Z. diniana bekannter Herkunft wurde im Elektroantennogramm (EAG⁵) das Antwortmuster der männlichen Antennen auf synthetische Testsubstanzen vergleichend bestimmt. Von einer isolierten Antenne, die zwischen Kapillarelektroden befestigt war, liessen sich EAG-Antworten über eine bis mehrere Stunden reproduzierbar ableiten. Als Reizquellen dienten mit definierten Substanzmengen beladene Filterpapierchen 14 x 14 mm, die in Glashülsen (5,5 mm Ø, Länge 5 cm) befestigt waren. Zur Reizung wurde die betreffende Hülse auf den Auslass eines Druckluftsystems aufgesetzt und für 1 sec ein Luftstrom von 1 m/sec über die Reizquelle auf die Antenne gerichtet. Die ausgelösten EAG-Antworten wurden nach Standardverfahren verstärkt und aufgezeichnet.

Ergebnisse

In der vorliegenden Studie wurde die EAG-Technik in dreifacher Hinsicht eingesetzt:

- a) Zunächst wurde in einem «Screening»-Verfahren bestimmt, welches unter mehreren hundert Analogen bekannter Lepidopteren-Pheromone bei gleicher Reizmenge die relativ höchste EAG-Amplitude auslöst. Für Tiere der Lärchenform (LF) von Z. diniana hatte dieses Verfahren bereits früher (Roelofs et al. 1971; Angst, 1973) zur Charakterisierung des E11-14Ac) (Abb. 1, b) geführt. Auch jetzt endete für einen Teil der untersuchten Tiere das Screening wieder bei dieser Substanz und ihrem nahezu ebenso wirksamen C₁₃-Homologen (E11-13Ac). Für die übrigen Versuchstiere waren diese beiden Verbindungen dagegen nur sehr schwach wirksam, die Maximalantwort wurde bei ihnen mit E9-12Ac erzielt (Abb. 1, a). Individuen mit Maximalantworten auf andere als diese eben genannten Testsubstanzen wurden nicht beobachtet.
- b) Von diesen Schlüsselmolekülen ausgehend (einerseits *E*9-12Ac, andererseits *E*11-14Ac und *E*11-13Ac), wurden an beiden Reaktionstypen die relativen Wirksamkeiten schrittweise abgewandelter Analoger quantitativ bestimmt. Solche quantitativen Struktur-Wirksamkeits-Daten sind wichtig u.a. für Rückschlüsse auf Mechanismen der Rezeptor-Interaktion (vgl. PRIESNER, 1977). Hier sei die ungewöhnlich hohe Spezifität der Rezeptorantwort hervorgehoben, die sich aus diesen Daten für beide Reaktionstypen ergibt: um bei AF-Männchen dieselbe Antworthöhe wie auf *E*9-12Ac zu erzielen, wird von *E*11-14Ac die etwa 100fache Substanzmenge benötigt; das umgekehrte Wirkungsverhältnis der beiden Substanzen gilt für LF-Männchen (Abb. 2). Kein Individuum wurde gefunden, an dem diese beiden Substanzen wesentlich andersartige (z.B. beide etwa gleich starke) Antworten auslösten. Das EAG-Antwortspektrum der bisher untersuchten *Z. diniana*-Männchen auf synthetische Testsubstanzen führt also zur Charakterisierung von zwei scharf getrennten Reaktionstypen, wobei Individuen desselben Typs im Rahmen der Messgenauigkeit identisch reagierten.

⁵ Das Elektroantennogramm (EAG) stellt ein langsames Summenpotential synchron aktivierter Riechsinneszellen einer Insektenantenne dar. Bei manchen männlichen Nachtschmetterlingen bestimmt ein einziger, zahlenmässig vorherrschender Typ von Pheromonrezeptoren die Spezifität der EAG-Antwort (Schneider *et al.*, 1977).

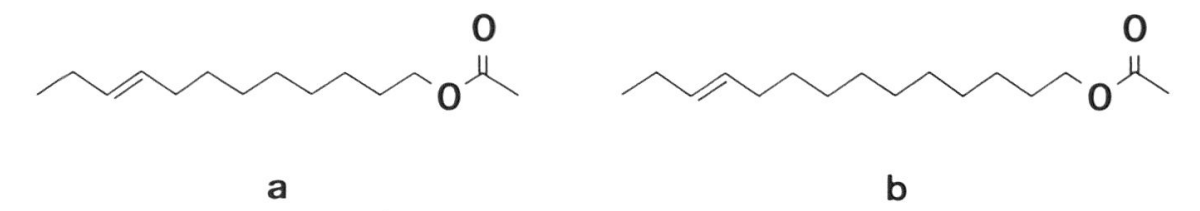


Abb. 1: Strukturformeln von (*E*)-9-Dodecenylacetat (*E*9-12Ac) (a), (*E*)-11-Tetradecenylacetat (*E*11-14Ac) (b).

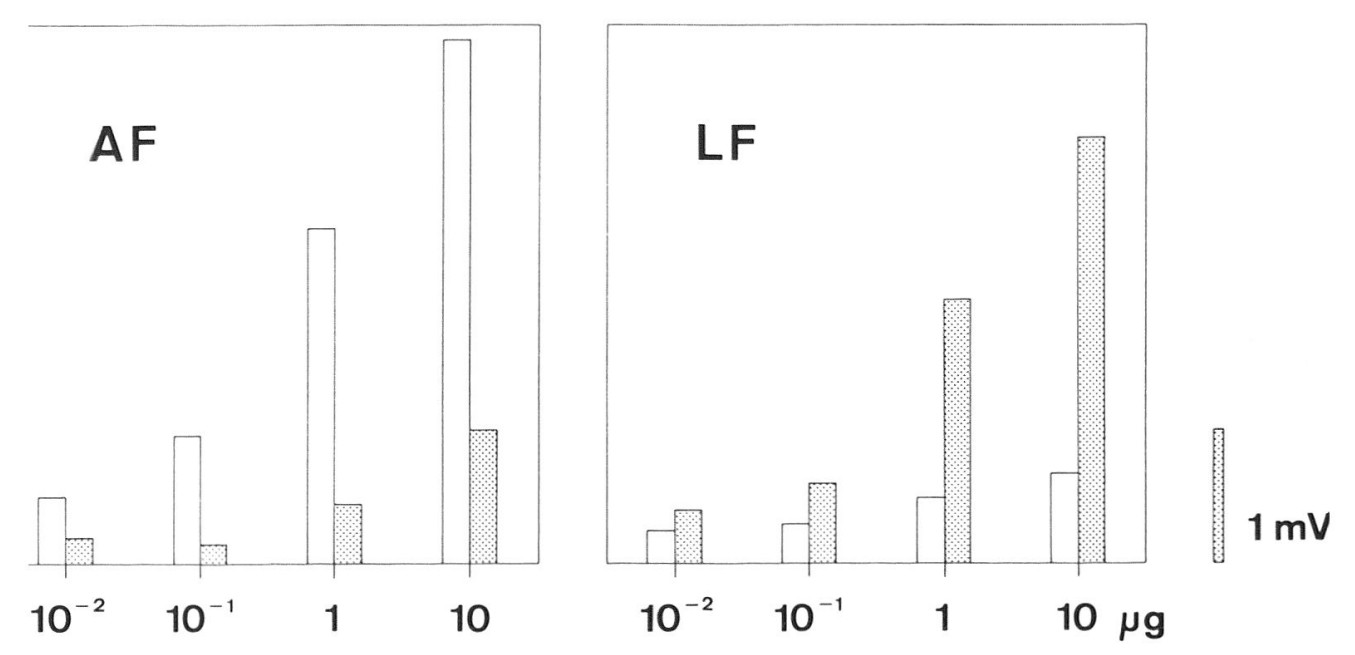


Abb. 2: Typische Elektroantennogramm-Antworten eines Männchens der Arvenform (AF) und der Lärchenform (LF) von Z. diniana auf (E)-9-Dodecenylacetat (E9-12Ac; weisse Balken) und (E)-11-Tetradecenylacetat (E11-14Ac; punktierte Balken). Wiedergegeben ist der Mittelwert der Amplitude aus je 3-8 Messungen. Die Mengenangaben beziehen sich auf die Beladung der Reizquelle.

c) Von diesen Ergebnissen ausgehend, wurde für jeden der beiden Typen ein «Steckbrief» charakteristischer Testsubstanzen zusammengestellt. An dem Antwortmuster auf diese Substanzen konnten neue Individuen in einem zeitlich begrenzten Messprogramm jetzt eindeutig zugeordnet werden. Dieses Verfahren erlaubte es, an einem Versuchstag für bis zu 20 Männchen die Typenzugehörigkeit zu bestimmen. Als Ergebnis dieser Tests sei hier zusammenfassend festgestellt, dass bis auf eine Ausnahme (Material aus Tweng/Lungau mit Individuen beider Typen) alle im EAG maximal auf E9-12Ac ansprechenden Männchen aus Raupen von Arven, alle maximal auf E11-14Ac ansprechenden Falter aus Raupen von Lärchen gezogen worden sind. Falter aus Lichtfängen in Lärchenreinbeständen reagierten ebenfalls stets maximal auf E11-14Ac. Das bisher untersuchte Material stammt von Populationen aus dem ganzen Alpenbogen [Briançonnais (F), Oberengadin (CH), Südtirol (I), Lungau (A)].

Diskussion

Die differentiellen EAG-Antworten der Männchen der Arvenform (AF) und Lärchenform (LF) weisen auf unterschiedliche Hauptkomponenten des weiblichen Pheromons. Die Bestätigung durch die chemische Analyse steht bisher aus; die beiden hier genannten Verbindungen, E9-12Ac und E11-14Ac (Abb. 1), stellen also zunächst nur Strukturvorschläge dar, die indirekt erschlossen wurden.

Als für die LF von Z. diniana das E11-14Ac beschrieben wurde, stellte es den ersten Vorschlag einer C₁₄-Verbindung für einen Vertreter der Unterfamilie Olethreutinae dar, deren Arten sonst einheitlich C₁₂-Substanzen benützen (Comeau & Roelofs, 1973). Mit den jetzt für die AF und LF genannten Strukturen wird der erste Fall des Wechsels der Pheromen-Kettenlänge zwischen zwei Tortriciden-Formen derselben Art bekannt. Ergebnisse von Einzelzellregistrierungen an Pheromonrezeptorzellen beider Formen (E.P., unveröff.) führen zu dem Schluss, dass es sich bei der «E9-12Ac-Zelle» der AF und der «E11-14Ac-Zelle» der LF um die «homologe» Sinneszelle handeln sollte; die Sinneszelle hätte, möglicherweise in einem einzigen «Evolutionsschritt» (PRIESNER, 1977), einen Wechsel in der Struktur des Schlüsselmoleküls vollzogen, ohne dass über die Evolutionsrichtung dabei zunächst etwas ausgesagt werden soll.

Hinweise auf mögliche «intraspezifische» Unterschiede des weiblichen Pheromons bei den Tortriciden sind bisher sehr spärlich. Für den Bekreuzten Traubenwickler Lobesia botrana Schiff, ist die im Warndienst eingesetzte Pheromon-Hauptkomponente, (E)-7, (Z)-9-Dodecadienylacetat, in bestimmten Weinbaulagen lockunwirksam, wohl infolge eines Wechsels einer essentiellen Nebenkomponente in der lokalen Population (Roehrich 1976). Wohl das bekannteste und am eingehendsten untersuchte Beispiel unterschiedlicher Pheromone innerhalb derselben Lepidopteren-Art bildet der Maiszünsler, Ostrinia nubilalis HB. (Pyralidae). «Pheromonstämme» mit (Z)-11-Tetradecenylacetat und solche mit dem entsprechenden (E)-Isomeren als Hauptkomponente sind aus verschiedenen Gebieten Nordamerikas und Europas nachgewiesen (KLUN et al., 1975). Im Antennogramm wird von den Männchen der betreffenden Maiszünslerpopulation das eigene Isomere gegenüber dem fremden schwach aber eindeutig bevorzugt (NAGAI et al., 1977). Die vergleichsweise sehr viel schärfere Ausprägung dieser Unterschiede der EAG-Antworten zwischen AF und LF von Z. diniana bietet günstige experimentelle Voraussetzungen, um hier an einem relativ grossen Material das Auftreten zweier Pheromon-Reaktionstypen im Freiland, ihren Erbgang im Labor und ihre Beziehungen zu anderen physiologischen, morphologischen und ökologischen Eigenschaften näher zu verfolgen. Es ist geplant, die hier geschilderten Techniken der EAG-Prüfung des Pheromontypus individueller Männchen u.a. anzuwenden auf:

- Männchen, die an synthetische Pheromonquellen bzw. an AF-♀♀ oder an LF-♀♀ gelockt werden;
- die Farbmorphotypen innerhalb der AF und der LF, deren reziproke Kreuzungsprodukte und ihre Folgegenerationen (Baltensweiler, 1977);
- Populationen die im weiteren Alpenraum auf Lärche dem zyklischen, temporären und latenten Fluktuationstyp angehören;
- Populationen aus anderen geographischen Gebieten bzw. auf weiteren Wirtspflanzen (auf *Larix* in England, den Pyrenäen und der UdSSR; auf *Pinus* in England und Skandinavien; auf *Picea* in Mitteleuropa und Skandinavien).

Die Aufklärung der Pheromone nahe verwandter Zeiraphera-Arten, wie bimaculana Schl., isertana F., ratzeburgiana SAX. und rufimitrana H. Sch., könnte darüber hinaus weitere Hinweise liefern, ob das Pheromon der AF von Z. diniana aufgrund seiner Kettenlänge den phylogenetisch älteren der beiden hier beschriebenen Pheromontypen darstellt. Bereits früher wurde aufgrund morphologischer

und ökologischer Kriterien vermutet, dass die AF gegenüber der LF entwicklungsgeschichtlich die ursprünglichere Form sei (Baltensweiler, 1966).

CHEMISCHE UNTERSUCHUNGEN

In Abdomenextrakten von Weibchen (ca. 100) aus Laborzuchten waren durch Gaschromatographie in Verbindung mit Massenspektrometrie (Buser & Arn, 1975) bisher weder E9-12Ac noch E11-14Ac nachweisbar; die Erfassungsgrenze lag bei 0,1 Nanogramm pro Weibchen. Auch mit der elektroantennographischen Detektion (Arn et al., 1975) war keine wirksame Komponente im Extrakt festzustellen. Systematische Versuche zur Gewinnung biologisch wirksamer Extrakte können erfolgen, wenn mit dem kommenden Populationsanstieg wesentlich mehr Material zur Verfügung steht.

FREILANDVERSUCHE

Methodik

Im Spätsommer 1977 wurden in verschiedenen Waldbeständen des Oberengadins Pheromonfallen mit virginen Weibchen der Lärchen- resp. Arvenform oder Lockstoffen E11-14Ac und E9-12Ac ausgebracht. Als Pheromonfalle dient eine Tafel (500 x 500 x 2mm) aus galvanisiertem Eisenblech, mit einem zentralen, kreisrunden Loch von 110 mm Durchmesser. Im Zentrum kann entweder ein kleiner Käfig mit 2 virginen Weibchen oder ein Gummistopfen mit der Locksubstanz befestigt werden. Die synthetischen Lockstoffe (E11-14Ac, E9-12Ac) wurden entweder in Hexan oder Paraffinöl gelöst; pro Standard-Gummistopfen wurde 1 µl 1%iger Lösung aufgetragen. Pro Weibchenfalle wurde je ein frischgeschlüpftes und ein mindestens 5 Tage altes Weibchen der LF oder AF eingesetzt. Die Tafel wird mit farblosem Stikem® Leim bestrichen und über zwei Rollen mittels Plastikleinen aufziehbar in 8-20 m Höhe in den Baumkronen von Lärche oder Arve befestigt.

In Pontresina wurden sieben Fallen parallel zum Berghang in einer Reihe über eine Distanz von 200 m alternierend auf Arve und Lärche ausgebracht. Während der ersten drei Kontrollperioden wurden die Lockmittel zwischen den Fallen ausgetauscht, um allfällige standortsspezifische Effekte auf das Fangergebnis auszuschalten (Tab. 1). Alle Anflugergebnisse werden durch die Zahl der Falter pro Falle und Kontrolltag (Männchen/FFT, für t-Test pro Fangperiode) ausgedrückt. Die Raupendichte auf Lärche wurde pro kg Lärchenzweige (AUER, 1961), auf Arve pro 100 Endtriebe erfasst und dann angenähert pro Baum und Bestand geschätzt.

Resultate

In Tab. 1 sind die absoluten Fangzahlen pro Kontrollperiode für die einzelnen Fallen und Lockmittel im Lärchen-Arvenmischwald von Pontresina dargestellt. Tab. 2 zeigt den Vergleich der larvalen Populationsdichte auf Arve und Lärche mit der Falterdichte für verschiedene Lockmittel und Standorte im Oberengadin.

Es ist bemerkenswert, dass der Anflug an die Fallen mit AF-Weibchen und E9-12Ac bereits am 25. August einsetzte, währenddem die Fallen mit E11-14Ac

oder LF-Weibchen erst am 31. August resp. 7. September angeflogen wurden (Tab. 1). Der Flug der LF begann im Oberengadin 1977 allgemein erst während der Wärmeperiode anfangs September. Diese Abweichung des Flugbeginnes (Bovey & Maksymov, 1959) von der üblichen Reihenfolge dürfte auf die überdurchschnittlich niederschlagsreiche Witterung während des August zurückzuführen sein: die dauernde Durchnässung der Bodenstreue verzögerte offenbar die Puppenentwicklung der LF derart stark, dass die auf der Arve sich verpuppende AF allgemein rascher schlüpfte. Die Fangergebnisse demonstrieren darüber hinaus den überragenden Einfluss der Temperatur auch auf die Falteraktivität sehr deutlich.

Im Lärchen-Arvenmischwald von Pontresina war der Anflug an AF-Weibchen-Fallen resp. an E9-12Ac-Fallen mit einer Irrtumswahrscheinlichkeit von <5% (gepaarter t-Test) um das 50-100fache stärker als der Anflug an LF-Weibchen-Fallen, resp. an El1-14Ac-Fallen (Tab. 2). Der Anflug von 20, 24 resp. 25, 36 Männchen/FFT unterscheidet sich auch deutlich von allen übrigen Fallenfängen im Oberengadin. [Von einer Prüfung der Mittelwerte zwischen den Standorten des Oberengadins wird abgesehen, weil die entsprechenden Voraussetzungen für den gepaarten t-Test (Gleichheit der Umweltbedingungen) und den ungepaarten t-Test (Homogenität der Varianzen) nicht erfüllt waren]. Auch im Lärchen-Arvenmischwald von Sils Maria war das E9-12Ac attraktiver (0,138 Männchen/FFT) als das E11-14Ac (0,005 Männchen/FFT). Im Lärchenreinbestand von Sils Figurs dagegen wurden nur mit der E11-14Ac-Substanz Fänge erzielt (0,034 Männchen/FFT); das E9-12Ac zeigte keinen Anflug. Wie Tab. 1 zeigt, wurden im Lärchen-Arvenmischwald von Pontresina die Fallen mit E9-12Ac oder mit AF-Weibchen auch dann maximal angeflogen, wenn sie auf der «falschen» Wirtspflanze Lärche angebracht waren.

Diskussion

Die oben beschriebenen Fangergebnisse stützen die Hypothese, dass die AF und die LF des Lärchenwicklers unterschiedliche Sexuallockstoffe benützen. Die weitgehend parallele Wirkung zwischen AF-Weibchen und E9-12Ac und zwischen LF-Weibchen und E11-14Ac sind ein weiterer Hinweis, dass es sich bei den synthetischen Substanzen um die wirklichen Pheromone der beiden Formen des Lärchenwicklers handeln könnte. Ob an die erstgenannten Lockquellen *nur* AF-Männchen anflogen und an die zweitgenannten Lockquellen *nur* LF-Männchen muss offen bleiben; hierüber werden in künftigen Versuchen die EAG-Prüfung gefangener Männchen oder die Rückfänge markierter Männchen Aufschluss bringen müssen.

Um die Anflugsergebnisse auch in populationsdynamischer Sicht interpretieren zu können, sind in Tab. 2 die Raupendichten pro Baum und Bestand angegeben. Obwohl diese Schätzungen mit einem erheblichen Unsicherheitsfaktor behaftet sind, widerspiegeln sie die charakteristischen Dichteverhältnisse, wie sie für die Lärchenform- und die Arvenformpopulationen im Oberengadin zu Beginn eines Gradationszyklus kennzeichnend sind (LF: AUER, 1961; AF: AUER, 1976). Obwohl in Pontresina die geschätzte absolute Populationsdichte der AF im Larvenstadium nur 3mal grösser war als jene der LF, wurden die AF-Weibchenfallen und die E9-12Ac-Fallen rund 70mal stärker angeflogen als die Fallen mit LF-Weibchen oder E11-14Ac; eine Erklärung für diese relativ schwache Attraktivwirkung der LF-Weibchen und E11-14Ac-Fallen, bzw. das relativ geringe Ansprechen der LF-Männchen, kann vorerst nicht gegeben werden.

Tab. 1: Anflug von Z. diniana-Männchen an Pheromonfallen in Pontresina, 18.8.–19.9.1977. (P = Flugperiode; Ar = Arve; Lä = Lärche; N = Zahl Männchen; Lm = Lockmittel; a = AF-Weibchen; b = E9-12 Ac; c = LF-Weibchen; d = E11-14 Ac).

| | | | | HOLZART / FALLENNUMMER | | | | | | | | | | | | | |
|---|-------------|--------------|--------|------------------------|-----|----|-----|----|-----|-----|-----|----|-----|-----|-----|-----|-----|
| F | FLUGPERIODE | | | | 300 | Lä | 301 | Ar | 302 | Lä | 303 | Ar | 304 | Lä | 305 | Ar | 306 |
| P | Datum | Zahl Tage | Temp.* | N | Lm | N | Lm | N | Lm | N | Lm | N | Lm | N | Lm | N | Lm |
| 1 | 18.822.8 | 5 | 6,8 | - | - | 0 | С | 0 | a | 0 | С | 0 | С | - | _ | - | - |
| 2 | 23.825.8. | 3 | 9,3 | 23 | a | 0 | C | 6 | b | 10 | b | 16 | b | 0 | d | 0 | đ |
| 3 | 26.829.8. | 4 | 9,8 | | a | 0 | С | 0 | d | .0 | b | 0 | d | 0 | b | 0 | b |
| 4 | 30.831.8. | 2 | 9,5 | 15 | a | 0 | C | 2 | d | 12 | b | 0 | d | 10 | b | 17 | b |
| 5 | 1.9 7.9. | 7 | 12,7 | 210 | a | 3 | C | 0 | đ | 194 | b | 0 | d | 108 | b | 258 | b |
| 6 | 8.912.9. | 5 | 11,6 | 278 | a | 3 | C | 10 | d | 260 | b | 4 | d | 274 | b | 251 | b |
| 7 | 13.9. | 1 | 9,0 | 17 | a | 0 | C | 0 | d | 6 | b | - | - | 14 | b | 18 | b |
| 8 | 14.915.9. | 2 | 12,0 | 44 | a | 2 | C | 2 | d | 154 | b | _ | - | 154 | b | 181 | b |
| 9 | 16.919.9. | 4 | 4,0 | _ | _ | 0 | С | 0 | d | 68 | b | _ | - | 52 | b | 67 | b |

^{*} Temperaturmittel / Flugperiode der Terminablesung 19.00 Uhr Station St. Moritz

Tab. 2: Populationsdichte der Lärchenform (LF) und Arvenform (AF) von Z. diniana im Raupenstadium auf Lärche (Lä) und Arve (Ar) und Anflüge von Faltern an Pheromonfallen mit verschiedenen Lockmitteln. Oberengadin 1977.

| | Bestand | | Raupenz | | Falterflug 18.819.9.77 | | | | | |
|----------------|--------------------------|---------|----------------|--------|------------------------|----------------------|----------------|--------|-------|----|
| Standort | Mischungs- verhältnis | Holzart | Zahl Stich- | Anzahl | Raupen | Lock- mittel | Anzahl FFT* | Zahl | d/fft | ** |
| | | | proben | Baum | Bestand | | | | | |
| Pontre- | Lä-Ar-Wald | Lä | 9 | 8 | 24 | E11-14Ac | 49 | 18 | 0,37 | а |
| sina | 3:7 | | | | | LF Q | 43 | 8 | 0,19 | a |
| | | Ar | 9 | 10 | 70 | E9 -12Ac | 84 | 2130 | 25,36 | b |
| | | | | | | AF Q | 29 | 587 | 20,24 | b |
| Sils Fiours | Lä-Wald 10 | Lä | 44 | 6 | 60 | E11-14Ac E9 -12Ac | 145 29 | 5 0 | 0,034 | |
| 0.13 | | Lä | 30 | < 1 | < 5 | E11-14Ac | 203 | 1 | 0,005 | |
| Sils Maria | Lä-Ar-Wald 5:5 | Ar | - | ? | ? | E9 -12Ac | 29 | 4 | 0,138 | |

^{*} FFT: Anzahl Fallenfangtage = Zahl Fallen x Zahl Kontrolltage

^{**} Werte, die von verschiedenen Buchstaben gefolgt werden, unterscheiden sich signifikant auf dem 5% Niveau (t-Test)

Die Fangresultate weisen auf eine auch im populationsdynamischen Sinne wirksame Isolierung der LF und AF des Lärchenwicklers im Jahre 1977 hin.

Der Populationszyklus der LF des Grauen Lärchenwicklers im subalpinen Lärchen-Arven-Wald wird heute als Ergebnis einer zeitlich wechselnden Selektion für zwei Ökotypen verstanden – einen unter optimalen Umweltbedingungen stark zunehmenden «dunklen» Phänotyp, und einen nach Kahlfrass begünstigten «intermediären» Phänotyp. Die selbstinduzierte Verschlechterung der Nahrungsbasis nach Schadenfrass, die Erholungsrate des Wirtsbaumes und die Zeitverzögerung in der Rekombination der Gene wären dabei die bestimmenden Faktoren des 8-10jährigen Zyklus (Baltensweiler et al., 1977). Für die im Allgemeinen leicht verzögert aber gleichsinnig fluktuierende AF kann eine analoge Erklärung nicht zutreffen, denn die assimilierende Blattmasse der Arve wird selbst bei höchster Raupendichte nur zum kleinen Teil gefressen. Eine mögliche Erklärung des gleichsinnigen Populationsrückgangs der AF könnte in der Annahme einer zeitlich begrenzten Panmixie zwischen LF und AF liegen, bei der infolge der numerisch starken «Überlegenheit» der LF der Genpool der AF stark mit LF-Eigenschaften durchsetzt würde. Hierfür spräche u.a., dass der Farbmorphotypus von AF-Populationen im Laufe der Regressionsphase deutlich von hellen gegen intermediäre Formen verschoben wird, die dann anschliessend durch die generell unveränderten Umweltbedingungen «Arve» wieder reduziert werden (Baltensweiler, 1977).

Unter Laborbedingungen lassen sich LF und AF beliebig kreuzen. Feldbeobachtungen während der Populationsmaxima 1972-1974 zeigten, dass sich die
Männchen der LF in kahlgefressenen Beständen kaum noch geruchlich orientieren
(vgl. dazu auch Benz, 1973) und z.B. Leerfallen gleich häufig anfliegen wie Fallen
mit LF-Weibchen. Erst eingehende Freilandbeobachtungen und Versuche während der nächsten Schadenperiode werden Aufschluss bringen können, ob die sexuelle Isolation zwischen AF und LF, wie sie jetzt für den Populationstiefpunkt
gezeigt wurde, auch für hohe Dichten gültig ist. Von diesen Ergebnissen wird es
abhängen, ob LF und AF weiterhin als Formen einer einzigen Art angesehen
werden können.

LF und AF unterscheiden sich morphologisch nur im ausgewachsenen Raupenstadium an der Ausfärbung der chitinisierten Körperteile und der Hautpigmentierung (Baltensweiler, 1977). Im Laboratorium lassen sich durch Kreuzung mühelos alle Farbvariationen erzielen. Die Analyse des Vererbungsmodus der Pheromonreaktion in Beziehung zum Farbmorphotyp wird von besonderem Interesse sein.

VERDANKUNGEN

Wir danken Frl. A. Gutmann und Herrn A. Benninger vom Entomologischen Institut der ETHZ und Frl. D. Thomas vom MPI, Seewiesen für ihre zuverlässige Mitarbeit im Laboratorium und im Freiland. Herrn A. Fischlin, Entomologisches Institut ETHZ sei für die Beratung in statistischen Belangen gedankt.

- ANGST, M. 1973. Elektrophysiologische Untersuchungen an den Antennen des Lärchenwicklers Zeiraphera diniana Guenée. Diplomarbeit ETH Zürich, unveröffentlicht.
- ARN, H., STAEDLER, E. & RAUSCHER, S. 1975. The electroantennographic detector a selective and sensitive tool in the gas chromatographic analysis of insect pheromones. Z. Naturf. 30: 722–725.
- AUER, C. 1961. Ergebnisse zwölfjähriger quantitativer Untersuchungen der Populationsbewegung des Grauen Lärchenwicklers Zeiraphera griseana Hübner (= diniana Guenée) im Oberengadin (1949/60). Mitt. Schweiz. Anst. forstl. Versuchsw. 37: 174-263.
- AUER, C. 1976. Ergebnisse der populationsdynamischen Untersuchungen über den Grauen Lärchenwickler im Jahre 1975. Int. Bericht, unveröffentlicht.
- Baltensweiler, W. 1966. Zur Erklärung der Massenvermehrung des Grauen Lärchenwicklers (Zeiraphera griseana Hb = diniana Gn). Schweiz. Z. Forstw. 117: 466-491.
- Baltensweiler, W. 1977. Colour-polymorphism and dynamics of larch bud moth populations (Zeiraphera diniana Gn., Lep. Tortricidae). Mitt. Schweiz. Ent. Ges. 50: 25-23
- Baltensweiler, W., Benz, G., Bovey, P. & Delucchi, V. 1977. Dynamics of larch bud moth populations. Ann. Rev. Entomol. 22: 79–100.
- Benz, G. 1973. Role of sex pheromone, and its significance for heterosexual and homosexual behaviour of larch bud moth. Experientia 29: 553-554.
- Benz, G. & Von Salis, G. 1973. Use of synthetic sex attractant of larch bud moth Zeiraphera diniana (Gn.) in monitoring traps under different conditions and antagonistic action of cis-isomere. Experientia 29:729-730.
- Bovey, P. & Maksymov, I.K. 1959. Le problème des races biologiques chez la Tordeuse grise du Mélèze Zeiraphera griseana (Hb). Vierteljahrsschrift der Naturf. Ges. Zürich 104: 264–274.
- Buser, H.R. & Arn, H. 1975. Analysis of insect pheromones by quadrupole mass fragmentography and high-resolution gas chromatography. J. Chrom. 106: 83-95.
- COMEAU, A. & ROELOFS, W.L. 1973. Sex attraction specifity in the Tortricidae. Ent. exp. appl. 16: 191-200.
- Klun, J.A. & Cooperators 1975. Insect sex pheromones: intraspecific pheromonal variability of Ostrinia nubilalis in North America and Europe. Environm. Ent. 4: 891–894.
- NAGAI, I., STARRAT, A.N., McLeod, D.G.R. & Driscoll, G.R. 1977. Electroantennogram responses of the European Corn Borer, Ostrinia nubilalis, to (Z)- and (E)-11-tetradecenyl acetates. J. Insect Physiol. 23: 591–597.
- PRIESNER, E. 1977. Evolutionary capabilities of specialized olfactory receptors. Olfaction and Taste VI (J. LeMagnen, ed.), in press.
- ROEHRICH, R. 1976. Hétérogénéité dans la réponse aux pheromones de synthèse des populations de Lobesia botrana Schiff. C.R. de la réunion sur les pheromones sexuelles des lépidoptères (1976), I.N.R.A., Pont de la Maye, 79-80.
- ROELOFS, W.L., CARDÉ, R., BENZ, G. & VON SALIS, G. 1971. Sex attractant of the larch bud moth found by electroantennogram method. Experientia 27: 1438-1439.
- Schneider, D., Kafka, W.A., Beroza, M. & Bierl, B.A. 1977. Odor receptor responses of male Gypsy Moths and Nun Moths (Lepidoptera, Lymantriidae) to disparlure and its analogues. J. comp. Physiol. 113: 1–15.
- Vačlena, K. & Baltensweiler, W. 1978. Untersuchungen zur Dispersionsdynamik des Grauen Lärchenwicklers, Z. diniana Gn. (Lep. Tortricidae). 2. Das Flugverhalten der Falter im Freiland. Mitt. Schweiz. Ent. Ges. 51: 59–88.